

京都大学防災研究所 正員 今本 博健  
 同上 正員 ○大年 邦雄  
 京都大学大学院 学生員 川本 秀夫

## 1. はじめに

固体粒子を浮遊する開水路流れの平均速度分布については古くから研究されており、砂粒子を対象とした Vanoni<sup>1)</sup> の実験的研究、中立浮遊粒子を対象とした Elwala-Ippen<sup>2)</sup> の実験的研究等によ、これらの概略的な特性が理解されるようになり、日野<sup>3)</sup>によるとその理論的裏付けがなされた。さらに、近年、板倉ら<sup>4)</sup>は、気象学の分野で用いられた Monin-Obukov の相似則を浮遊砂流に適用し、新たな理論式を提案している。また林ら<sup>5)</sup>は、板倉らの理論を中立粒子を浮遊する流れにかけて拡張し、現象の説明を試みている。

このように、固体粒子を浮遊する流れの平均速度分布については理論的にかなり解明されつつあると言えるが、その実験的検証が進んでいないようである。これは、固体粒子を浮遊した場合の速度分布の変化がそれほど顕著がないため、実験的な検証が非常に困難であることに起因していると考えられる。

本報では、ポリスチレン粒子 ( $\gamma = 1.05$ ,  $d_m = 0.0337 \text{ cm}$ )、塩化ビニール粒子 ( $\gamma = 1.45$ ,  $d_m = 0.0115 \text{ cm}$ ) および砂粒子 ( $\gamma = 2.65$ ,  $d_m = 0.0063$ ,  $0.0105$ ,  $0.0151 \text{ cm}$ ) の 3 種の固体粒子を浮遊する開水路流れの平均速度分布について著者が行ない、実験的検討結果を報告する。なお、ポリスチレン粒子および塩化ビニール粒子を用いた実験では、粒子は水路床内を絶縁するようにしたが、この場合、定常・算流の実験条件下では体積濃度  $C_m = 10\%$  以上の高濃度な流れを得ることは非常に困難である。最高濃度  $C_m = 7\%$  未満の流れが計測の対象となる。

## 2. 実験的検討

図-1 は、 $\gamma = 1.05$  の固体粒子を浮遊する滑面流れにおいて計測された速度分布を同一流量・同一断面勾配の清水流のものと比較して示したものである。断面平均体積濃度  $C_m = 4.6\%$  では半水深以下での速度が清水流よりも若干減少する傾向を示しているが、 $C_m = 6.6\%$  では清水流よりも大きな水深を示すとともにほぼ全水深にわたって速度は一様に減少しており、速度勾配は清水流のものと顕著な差はないようである。また、図-1 に示された計測値を片対数表示したもののが図-2 である。固体粒子を含む流れの速度分布も清水流の片対数分布が十分类に表わしうることがわかる。

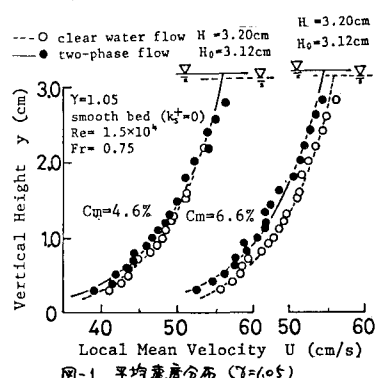
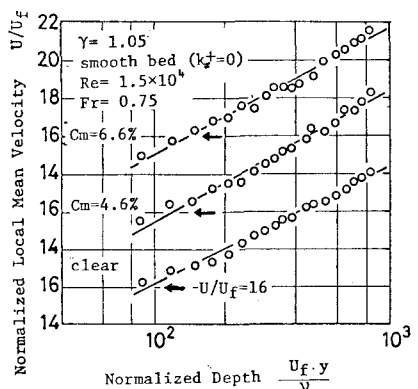
$\gamma = 1.45$  の固体粒子を用いた場合には、前述のように、高濃度の流下を対象とすることができなかつたが、滑面上の流れにおいて計測された速度分布を図-1 と同様の表示を用いて示すと図-3 のようである。低濃度であったため清水流の速度分布からの顕著な逸脱は検出されないが、水深は若干増大するようであつて、流れ抵抗は大きくなるものと思われる。

次に、浮遊砂流について検討する。板倉ら<sup>4)</sup>は、この場合の平均速度分布式として次式を導いている。すなわち、

$$\frac{U - U_{max}}{U_f} = \frac{1}{K} \left[ \ln \frac{y}{H} + C \right] \quad (1)$$

ここに、 $U$  は路床からの高さ  $y$  における速度、 $U_{max}$  は最大速度、 $U_f$  は摩擦速度、 $K$  はカルマン定数、 $H$  は水深、 $C$  は定数である。

本実験において計測された滑面および粗面上の浮遊砂流の速度分布を

図-1 平均速度分布 ( $\gamma = 1.05$ )図-2 平均速度分布 ( $\gamma = 1.05$ , 片対数表示)

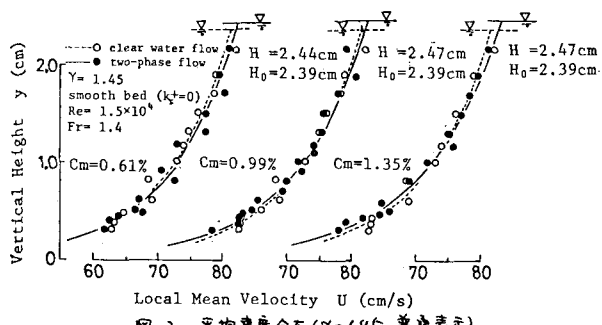


図-3 平均速度分布 ( $Y=1.45$ , 半対数表示)

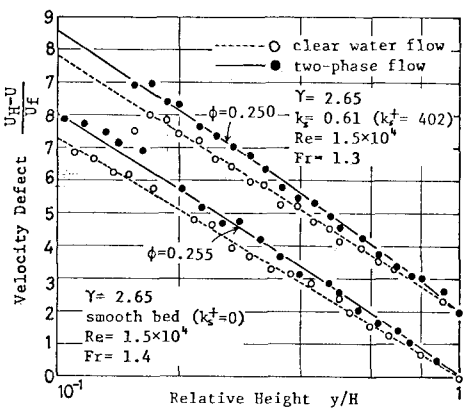


図-4 平均速度分布の欠損則表示 ( $Y=2.65$ )

欠損則表示し、式(1)と比較したものが図-4である。図中の実線は計測値より定めた中値を用いて式(1)を表したものであるが、清水流と同様、直線近似も可能である。同図では、計算分布式と式(1)の適合性の優劣を判断するには極めて困難である。そこで $\chi^2$ 検定により両者の適合性を検討してみると、表-1のようである。表に示された $\chi^2$ 値の分布式による差異は微少である。適合性の優劣はつけ難い。

表-1  $\chi^2$  検定結果

	滑面	粗面
計算分布	$\chi^2 = 0.320$	$\chi^2 = 0.326$
式(1)	$\chi^2 = 0.320$	$\chi^2 = 0.310$

したがって $\chi^2$ による差異は微少である。適合性の優劣はつけ難い。

最後に、浮遊砂流の速度分布に及ぼす粒径の効果について検討する。完全粗面上の流れにおいて、 $C_m \approx 0.25\%$ の一一定に保てば、粒径のみを変化させた場合の速度分布計算値を図-5と同様な表示法を用いて示したもののが図-5である。粗面上の浮遊砂流であるため、いずれの粒径のものについても速度は清水流のものより増大しているが、その増大の度合は粒径の大きいものほど顕著である。また、清水流との速度差に着目すると、 $dm = 0.0105\text{ cm}$ では水面近傍ほど大きく、著者ら<sup>6)</sup>が先に指摘した傾向を示しているが、 $dm = 0.0151\text{ cm}$ ではほぼ全水深にわたって一様に増大している。また、これらの計算値を片計算表示すると図-6のようである。いずれの粒径に計しても直線近似が計算分布によく適合していることがわかる。

以上のような粒径の効果は次のように説明される。粗面上の浮遊砂流では、路床近傍の高濃度層によく粗度要素が水流に及ぼす影響が強められると言えられるが、浮遊砂の断面平均体積濃度が一定であれば、粒径の大きい場合ほど路床近傍の濃度が大きく水面近傍の濃度は小さくなる。したがって、粗度の緩和効果は粒径の大きい場合ほど卓越するに至るなり、速度増加は顕著になるといえよう。

#### (参考文献)

- 1) Vanoni, V.A. : Proc. ASCE, Vol. 70, 1944.
- 2) 日野幹雄 : 土木学会論文集, 92, 1963.
- 3) 林泰造, 大山好永 : 第23回水理講演会論文集, 1979.
- 4) Elata-Ippen : Tech. Report, No.45, Hydrodynamics Lab., MIT, 1961.
- 5) Itakura, T. and T. Kishi : Proc. ASCE, Vol. 106, 1980.
- 6) 今本博健, 大矢邦雄, 二宮純 : 第34回年譲, II-78, 1979.

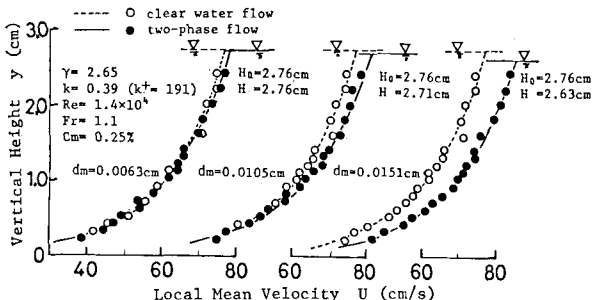


図-5 粒径を変化させた場合の平均速度分布 ( $Y=2.65$ )

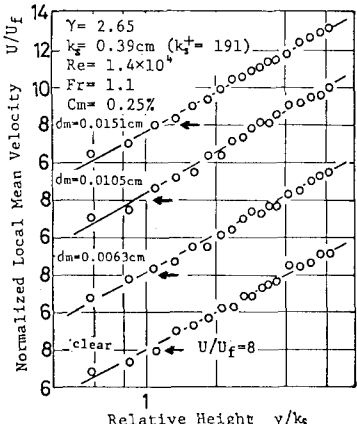


図-6 平均速度分布 ( $Y=2.65$ , 半対数表示)